

III-377 覆土工法のジオグリッドによる補強効果の判定解析

建設技術研究所 正 穂 和英 長崎大 正 楠橋由彦
西日本工業大 正 平尾和年 茨城大 正 安原一哉
三井石化産資 正 高岡恭三 三井石油化学 正 西村 淳

1. まえがき

補強材を用いた覆土工法の設計案はTerzaghiの支持力式に基づくものとケーブル理論、版理論、膜理論など弾性論に基づくものが提案されている。一方、有限要素法を用いた解析では、地盤モデルが線形または非線形弾性モデルに限られている。弾性モデルでは、覆土工法のような超軟弱地盤の側方流動、周辺地盤の隆起を伴うクリティカルな変形が表現できず、ジオテキスタイルの補強効果を定量的に把握することができるのは明白である。本報告では地盤・ジオテキスタイルおよびそれらの相互間のインターラクションのモデルとして現時点では最良と思われるモデルを組合せ、覆土工法模型実験の解析を試み、解析値・実測値の比較から、ジオテキスタイルの補強効果判定のための解析法の有用性を検討する。

2. 構成モデルの概要

- (1)地盤モデル……地盤材料は塑性流動・側方隆起を伴う大変形に十分追随できると考えられる関口・太田の弾粘塑性モデル¹⁾を採用した。
- (2)ジオテキスタイル及び土との相互作用モデル……ジオテキスタイルは軸力のみが作用する平面トラス要素としてモデル化し、山岡ら²⁾にならないジオグリッドの非線形性を表現する。ジオテキスタイルと土とのインターラクションは不連続面を表現するためにジョイント要素を用いた。ジョイント要素は、林ら³⁾の土中におけるジオテキスタイルの引抜き機構をモデル化した手法を採用した。

3. 実験の概要及び解析条件

(1)実験の概要

試料は福岡県京都郡苅田町の苅田港より採取した苅田粘土で、ジオテキスタイルは、二軸延伸グリッド(テンサース2)を用いた。苅田粘土の物理的性質は、 $G_s=2.62$ 、 $W_L=107\%$ 、 $W_P=41\%$ 、 $P I=66$ である。試験方法・結果は文献(4)に詳しいので省略する。なお、載荷幅Bは10cm、粘土層厚Dは、80cm、40cmの2種類行った。

(2)解析条件

今回の解析では、 $D/B=8.4$ の2通りの解析を行った。 $D/B=8$ のモデルを図-1に示す。また、解析に必要なパラメータの同定は苅田粘土のモデルパラメータ同定に必要な試験を実施していないため、飯塚・太田⁵⁾が提案した塑性指指数PIのみによる決定法に従った。苅田粘土の本解析に所要なパラメーター値を一括して表-1に示す。載荷方法は実験と対応させ $0.016\sim0.0949 \text{kgf/cm}^2$ を9ステップに分け1ステップ15分とし載荷した。なお、解析に際しては平面ひずみ条件を仮定した。

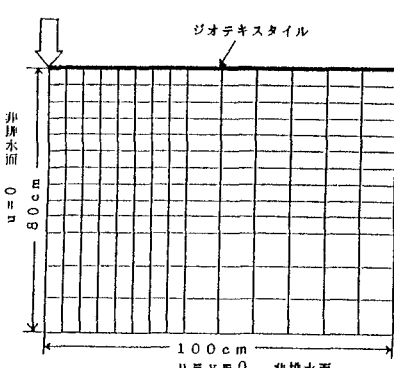


図-1 解析モデル

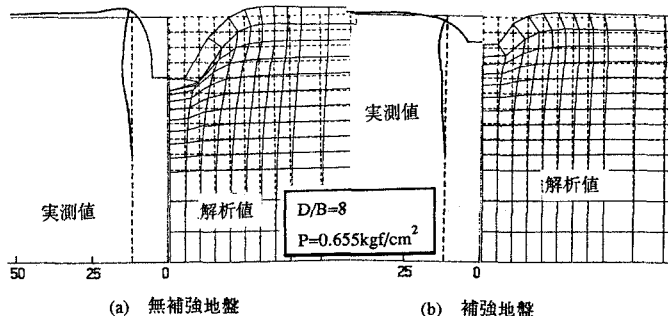
表-1 入力パラメーター値

地盤材料	ジオテキスタイル
D : ダイレイタンシーコ系数	0.0477
Λ : 非可逆比	0.506
M : ゼン断抵抗角	0.886
ν : 有効応力に基づくボアン比	0.4176
k_{α/γ_w} : X方向の透水係数	$0.354\sim7.51\times10^{-4} \text{cm/min}$
k_{y/γ_w} : Y方向の透水係数	$0.354\sim7.51\times10^{-4} \text{cm/min}$
σ_{z0} : 鉛直先行圧密圧力	0.065kgf/cm^2
K_0 : 先行時の静止土圧係数	0.717
σ_{z0} : 鉛直有効上載荷	$0.0014\sim0.0431 \text{kgf/cm}^2$
K_i : 原位置での静止土圧係数	$0.216\sim0.630$
a : 二次圧密係数	7.51×10^{-3}
v_0 : 初期体積ひずみ速度	$2.88\times10^{-8}\sim2.59\times10^{-8}$
λ : 圧縮指数	0.317
e_0 : 先行時の間隙比	2.80

4. 解析結果と考察

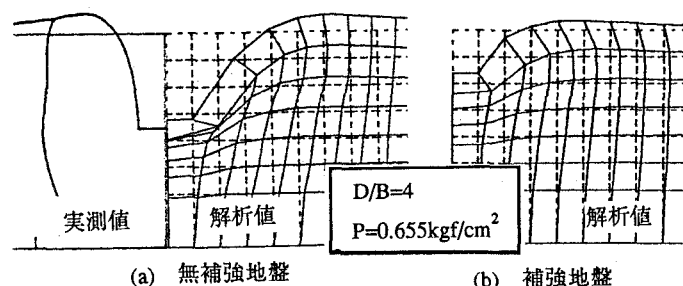
(1) $D/B = 8$ のケース

無補強・補強地盤の実測結果、解析結果の変形図をそれぞれ図-2(a)、(b)に示す。解析結果は、ジオテキスタイルを敷設した効果により鉛直変位、水平変位ともかなり抑制されており実測の傾向を定量的にほぼ満足できるまでに表現し得ている。図-3に載荷中心における荷重-沈下量曲線を示す。図中、実線が解析値、破線が実測値である。補強地盤の載荷初期と終期に両者の差異が少しほられる以外、対比は概ね良好である。従って、ジオテキスタイルを敷設した変形挙動を上述のようなモデルに置き換えることにより解析することが可能であると考えられる。

図-2 変形図 ($D/B=8$)

(2) $D/B = 4$ のケース

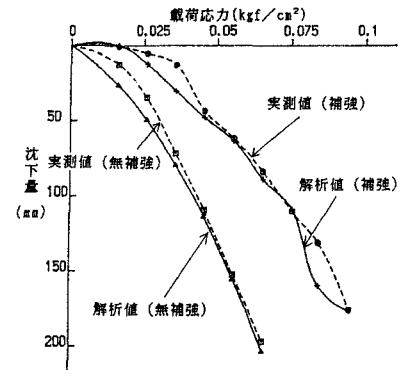
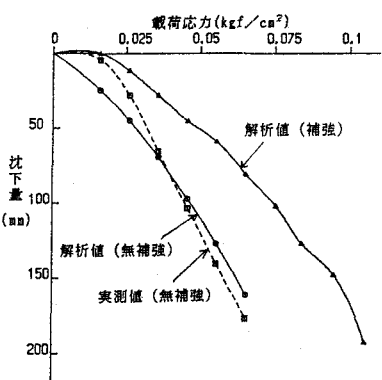
無補強・補強の実測結果、解析結果の変形図をそれぞれ図-4(a)、(b)に示す。ただし、テンサーSS2を敷設した補強地盤は実験を行っていないため、実測値との比較はできないが、 $D/B=8$ と同様ジオテキスタイル敷設による変形拘束効果が表現されている。 $D/B=4$ は層厚が $D/B=8$ の半分のため、側方変位量、周辺地盤の隆起量ともに補強、無補強地盤にかかわらず $D/B=8$ より卓越している。図-5に $D/B=4$ の荷重-沈下量曲線を示す。無補強における解析値、実測値については多少の差異はあるがまことに大差なく実測の傾向を表現し得ているのが分る。

図-4 変形図 ($D/B=4$)

5.まとめ

以上の実測値と解析値との比較から、このモデルが覆土工法のジオグリッドによる補強効果の判定解析には有用であることが確認された。今後は、実地盤を想定した数値実験により、ジオグリッドによる補強効果の定量的評価を行うとともに、ジオグリッドを用いた覆土軟弱地盤の支持力に及ぼす層厚載荷幅比(D/B)、端部拘束方法の相異などが与える影響を吟味し、合理的な設計方法の確立に努めたい。末筆ながらDACSARプログラムを快く提供戴いた金沢大学太田秀樹教授に深謝の意を表わす次第である。

参考文献 1) Sekiguchi,H and H.Ohta(1977): Proc. 9th Int. on SMFE, Specialty Session No. 9. 2) 山岡・西形・坪井(1986): 土質工学会第30回シンポジウム, 27-32. 3) 林・山内・落合・孫(1985): 土と基礎, Vol.33, No.5, 21-26. 4) 安原・平尾(1990): ジオテキスタイルによる埋立て地盤の支持力改良に関する研究,(未発表). 5) Iizuka,A and H.Ohta(1987): S&F, Vol.27, No.37.

図-3 荷重-沈下量曲線 ($D/B=8$)図-5 荷重-沈下量曲線 ($D/B=4$)